

4.4 Die Zwei-Schritt-Methode von Rehberk & Ziegelmann [2000]

metaweg-basierte IP-Formulierung und LP-Relaxation

O,1 Variable x_p für jeden st-Weg $T_p := \sum_{a \in p} T_a$, $\ell_p := \sum_{a \in p} \ell_a$

\Rightarrow Primerer IP:

$$\min \sum \tau_p x_p \quad \leftarrow \tau_p \text{ minimiert}$$

$$\text{unter } \sum_p l_p x_p \leq L \quad \leftarrow \text{Längenlänge eingehalten}$$

$$\left. \begin{array}{l} \sum_p x_p = 1 \\ x_p \in \{0,1\} \end{array} \right\} \leftarrow \text{wurde ein zulässiger Weg in Lösung}$$

LP Relaxology :

$$\min \quad \sum \bar{c}_p x_p$$

$$v \quad \text{unter } -\sum_p l_p x_p \geq -L$$

$$u \cdot \sum_p x_p = 1$$

$$x_p \geq 0 \quad \leftarrow x_p \leq 1 \text{ hält im Optimum automatisch } \\ \text{da } \tau_p \geq 0$$

Dugler LP:

$$\max u - Lv$$

$$\text{unter } u - \ell_p V \leq T_p \quad \forall p$$

$v \geq 0$, u nicht verzeihen beschränkt

Ersatzung $v \rightarrow \neg v$ ergibt

$$\max u + Lv$$

$$\text{where } u + l_p v \leq t_p \quad \forall p$$

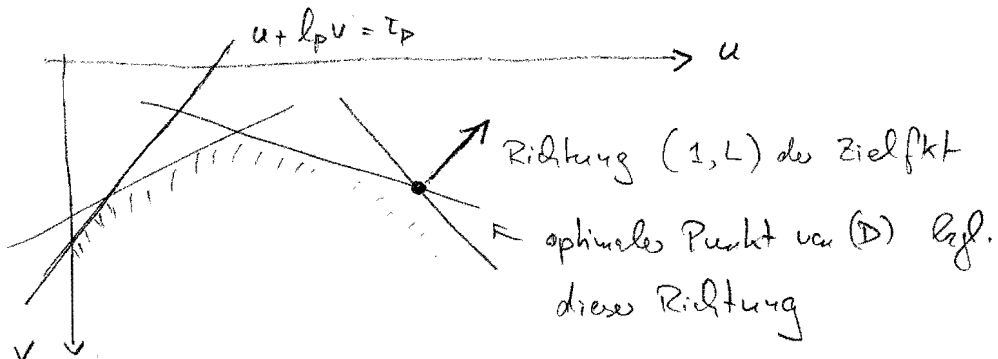
$v \leq 0$ u nicht verzweigt beschreibt

(D)

Standardinterpretation von (D) als 2-dim LP

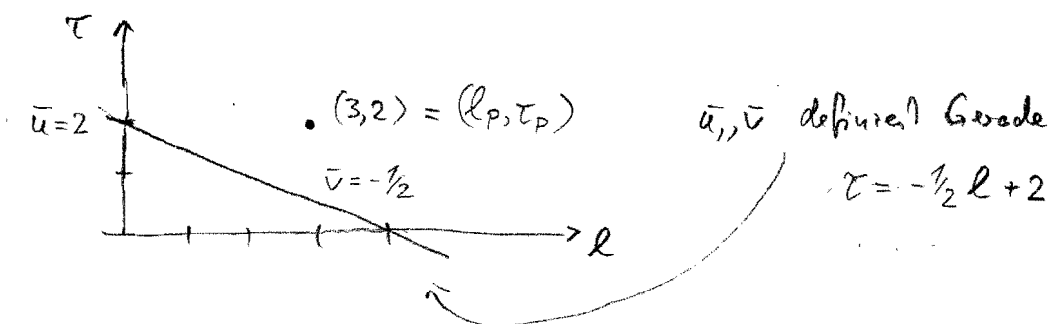
Nebenbedingungen = Halbebenen

Werte der Dualvariablen (u, v) = Punkte in der Ebene



andere, geometrisch duale Interpretation:

- Paar (u, v) als Gerade $\tau = v \cdot l + u$ in der (l, τ) Ebene auffassen
- Nebenbedingung $u + l_p v \leq t_p \Leftrightarrow$ Punkt $(l_p, t_p) \in$ Pfad P
- Ungleichung $\bar{u} + l_p \bar{v} \leq t_p$ erfüllt für Werte \bar{u}, \bar{v} von u, v
 $\Leftrightarrow (l_p, t_p)$ liegt oberhalb der Geraden $\tau = \bar{v} l + \bar{u}$

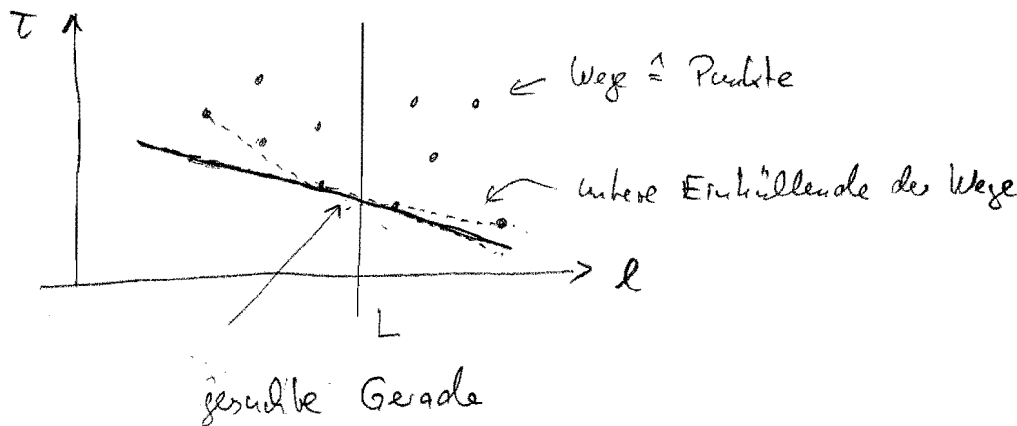


Punkt $(3, 2)$ liegt oberhalb von $\tau = -\frac{1}{2} l + 2$

$$\Leftrightarrow 2 \geq \underbrace{-\frac{1}{2} \cdot 3 + 2}_{0,5}$$

- Optimierung \Leftrightarrow Ende eines Paars u^*, v^* bzw. einer Geraden $\tau = v^* \cdot l + u^*$ mit nicht-positiver Steigung ($v^* \leq 0$) so dass:

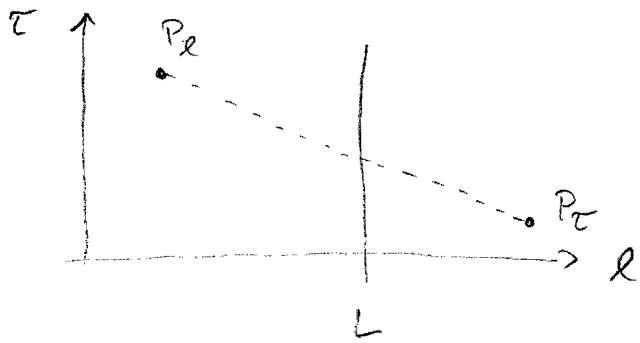
1. alle Punkte (l_p, τ_p) , P s-t Weg, liegen oberhalb dieser Geraden
2. Der Schnittpunkt der Geraden $\tau = v^* l + u^*$ mit der Geraden $l = L$ ist so groß wie möglich, dann
 - der Schnittpkt hat den Wert $v^* L + u^* = \text{Zielfkt. von } D$



Konstruktion dieses optimalen Geraden erfolgt mit dem Hüllensatz

Konstruktion der unteren Einhüllenden bei $l = L$

1. Berechne kürzesten Weg $P_{l_{\min}}$ bzgl. l
 if $l(P_{l_{\min}}) > L$ then return "keine zulässige Lösung"
 else $VB := \tau(P_{l_{\min}})$; // $VB \approx$ obere Schranke für optimalen Weg
2. Berechne kürzesten Weg $P_{\tau_{\min}}$ bzgl. τ
 if $l(P_{\tau_{\min}}) < L$ then return $P_{\tau_{\min}}$ // optimal
 else $P_r := P_{\tau_{\min}}$; $P_e := P_{l_{\min}}$ // Initialisierung P_r, P_e
 // P_r und P_e erzeugen erste Gerade $\tau = \bar{v} \cdot l + \bar{u}$ mit
 // Steigung $\bar{v} = \frac{\tau(P_r) - \tau(P_e)}{l(P_r) - l(P_e)}$



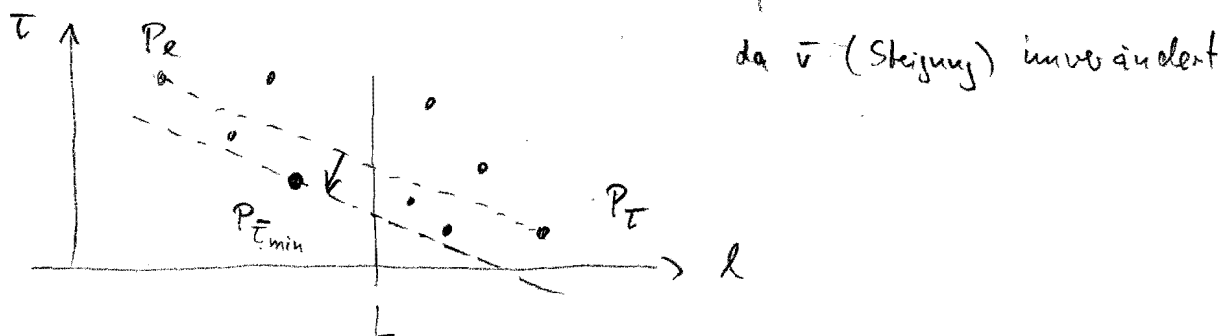
2. Prüfe ob es Punkte unterhalb der Geraden gibt.

Ein solcher Punkt entspricht einem Weg P mit

$$\bar{v}l_p + \bar{u} > \tau_p \Leftrightarrow \tau_p - \bar{v}l_p < \bar{u}$$

und kann durch kürzeste Wege-Berechnung bzgl. $\tau_a - \bar{v}l_a =: \bar{\tau}_a$ berechnet werden ≥ 0 wegen $\bar{v} \leq 0$

Graphisch entspricht dies einer Parallelverschiebung des Geraden auf einen extremalen Punkt (dem kürzesten Weg)



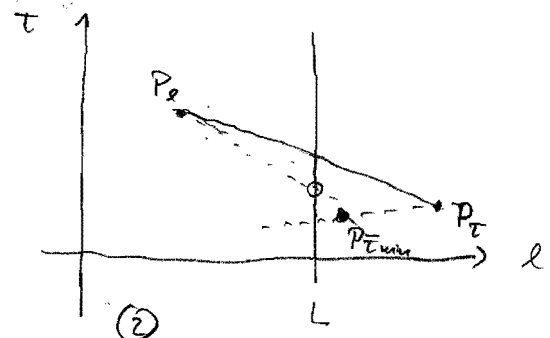
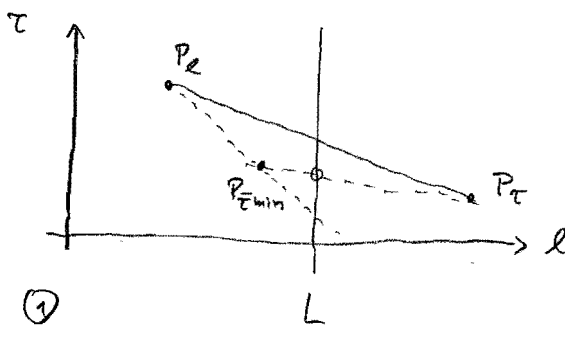
Sei $P_{\bar{\tau}_{min}}$ der neue Weg/Punkt bzgl. $\bar{\tau}_a = \tau_a - \bar{v}l_a$

if $\bar{\tau}(P_{\bar{\tau}_{min}}) = \bar{u} \Rightarrow P_{\bar{\tau}_{min}}$ liegt auf der alten Geraden
 \Rightarrow alte Gerade ist optimal,
Schriftpunkt mit $l=L$ ist Optimum

else Weiter suchen in 3

3. Abhakalisiere die alte Gerade durch eine der

beiden Geraden durch P_e und $P_{\bar{\tau}_{min}}$ oder $P_{\bar{\tau}_{min}}$ und $P_{\bar{T}}$



Frage: Welche der beiden Geraden ist besser, d.h. Schnittpunkt ist höher auf L ?

hängt offenbar von der Lage des Punktes $P_{\bar{t}_{min}}$ ab.

links von L (d.h. $\tau(P_{\bar{t}_{min}}) \leq L$) \Rightarrow ① ist besser

rechts von L (d.h. $\tau(P_{\bar{t}_{min}}) > L$) \Rightarrow ② ist besser

Fall ①: setze $P_e := P_{\bar{t}_{min}}$; UB := $\tau(P_{\bar{t}_{min}})$

und iteriere mit neuer Geraden $\overline{P_e, P_t}$

Fall ② setze $P_t := P_{\bar{t}_{min}}$, UB kann nicht aktualisiert werden

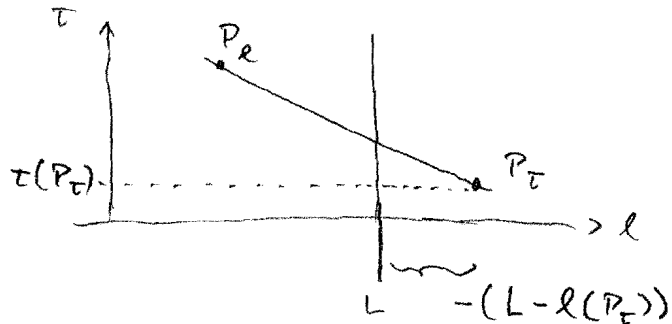
iteriere mit neuer Geraden $\overline{P_e, P_t}$ da $\tau(P_{\bar{t}_{min}}) > L$

Aber es folgt in dem Fall, dass die Parallelverschiebung der aktuellen Geraden $\tau = \bar{v} \cdot l + \bar{u}$ keine Verbesserung ergibt.

Untere Schranke LB an das Optimum ergibt sich aus

$$LB = \bar{v} \cdot (L - l(P_T)) + \tau(P_T)$$

mit $\bar{v} = \text{Steigung des neuen Grade} = \frac{\tau(P_T) - \tau(P_e)}{l(P_T) - l(P_e)}$



Untere Schranke LB

" Opt.-Wert der LP-Relaxation

" Opt.-Wert des Lagrange-Relaxations, da relaxierter Problem
in der Lagrange Relaxation ganzzahlige Ecken hat
(ist kürzeste Wege Problem, in Kantenformulierung
vollständig unimodular)

Insgesamt bleibt also dieselbe "Dualitätslinke" wie bei der
Lagrange-Relaxation. Allerdings kann die Laufzeit besser
abgeschätzt werden

4.4 SATZ (Fahlkorn & Ziegelmann 00): Der Hüllensatz arbeitet
korrekt und hat eine Laufzeit von

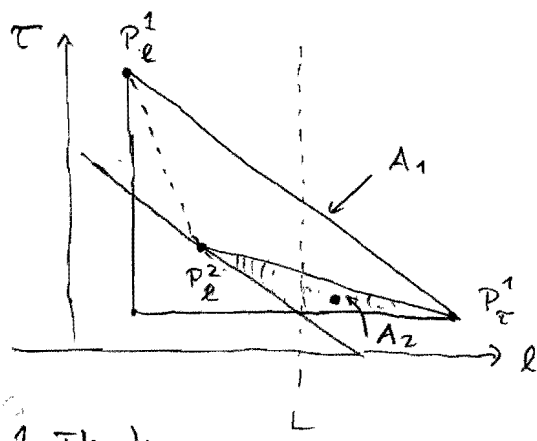
$$\mathcal{O}(\underbrace{\log(n t_{\max} l_{\max})}_{\# \text{ Iterationen}} \cdot \underbrace{(n \log n + m)}_{\text{kürzeste Wege Berechnung}})$$

Iterationen kürzeste Wege Berechnung

mit $t_{\max} := \max_a t_a$, $l_{\max} := \max_a l_a$

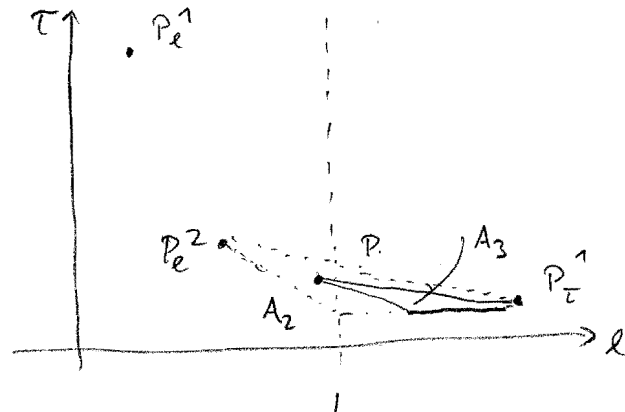
Beweis: Korrektheit folgt aus den vorangegangenen Überlegungen

zu Laufzeit: geht über die Größe der "unerfaschten" Gebiete von noch möglichen Punkten unterhalb der momentanen Geraden



1. Iteration

Zu Beginn können unentdeckte Punkte nur im Dreieck A_1 . Nach Parallelverschiebung des Geraden $\overline{P_e^1 P_t^1}$ zum Punkt P_e^2 können unentdeckte Punkte nur noch im Dreieck A_2 liegen



2. Iteration

Jetzt wird P_t^3 gefunden und die Fläche verkleinert sich weiter

Fläche eines Dreiecks ist maximal $\frac{1}{2} \cdot (n \cdot l_{\max}) \cdot (n \cdot t_{\max})$
und minimal $\frac{1}{2}$, da alle Daten (= Punkte) ganzzahlig sind

Für Iterationen i und $i+1$ des Halbierensatzes gilt

$$A_{i+1} \leq \frac{1}{4} A_i$$

AUFGABE 5

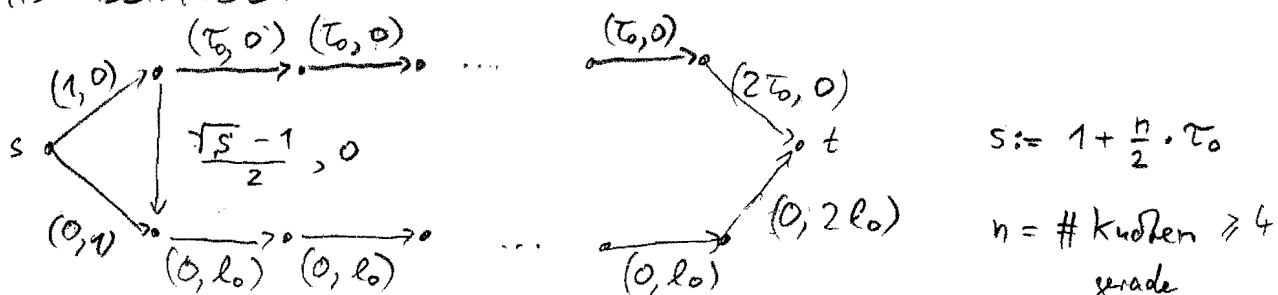
=D maximal N Iterationen bis $\frac{1}{2} \leq \left(\frac{1}{4}\right)^N \frac{1}{2} n^2 l_{\max} t_{\max}$

= $O(\log(n l_{\max} t_{\max}))$ Iterationen \square

Bemerkung: kann zeigen dass $O(m \log^2 m)$ Iterationen reichen
(Jüttner 03) \Rightarrow streng polynomialer Algorithmus

Insgesamt bestimmt der Hillenansatz eine obere Schranke UB
und eine untere Schranke LB für das Optimum des CSP
Die Güte der Schranken kann allerdings i. A. beliebig schlecht werden

4.5 BEISPIEL:



$$L = \frac{n l_0}{2}, \quad l_0 > T_0 > 0$$

Hillenansatz findet $UB = S$ und $LB = \frac{S}{T}$ mit $T := 1 + \frac{n}{2} \cdot l_0$

Optimale Kosten liegen bei $\frac{\sqrt{S} + 1}{2}$

\Rightarrow nur $\Omega(\sqrt{n \cdot T_0})$ Approximationsgüte (\approx gilt sich aus $\frac{OPT}{LB}$)

AUFGABE 6

Schließen der Lücke zwischen LB und UB:

z.B. durch Pareto Dijkstra, wobei Label (τ, ℓ) verworfen werden können, wenn $\tau \geq UB$, $\tau < LB$ oder $\ell > L$ ist
 \Rightarrow wesentliche Beschleunigung, kleinere Labellisten an Knoten und Gesamtkaufzeit mit am besten

4.5 Anwendung auf das Constrained System Optimum

$$\min \sum_a \tau_a(x_a(f)) \cdot x_a(f)$$

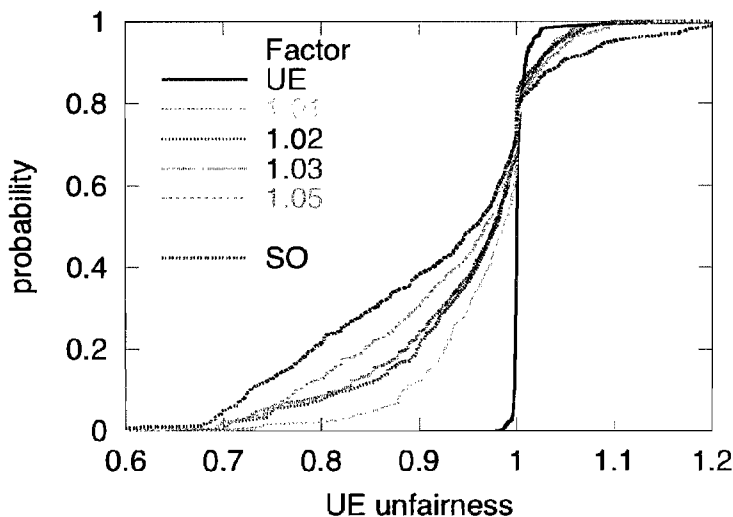
$$\text{unter } \sum_{P \in P_k^E} f_P = d_k$$

$f_P \geq 0$

→ lineares Problem in
Beregsverfahren zerfällt
in k CSP-Probleme

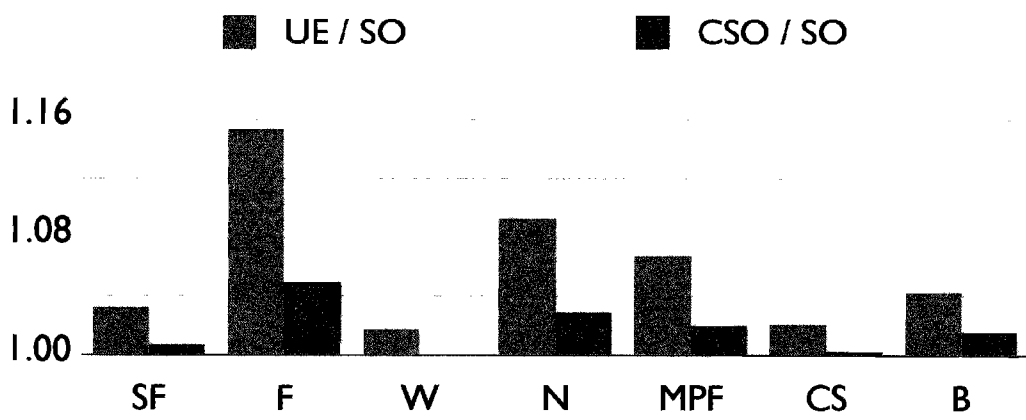
Ergebnisse: Paper Jahn, H., Schulz, Stier → www

Analysis of fairness



- 75% of the users travel less than in equilibrium
- Only 0.4% of the users travels 10% more than in equilibrium
in SO mehr als 5%

Results



SF Sioux Fall
 F Friedrichshain
 W Winnipeg

N Neukölln
 MPF Berlin Mitte
 CS Chicago Sketch

B = Berlin